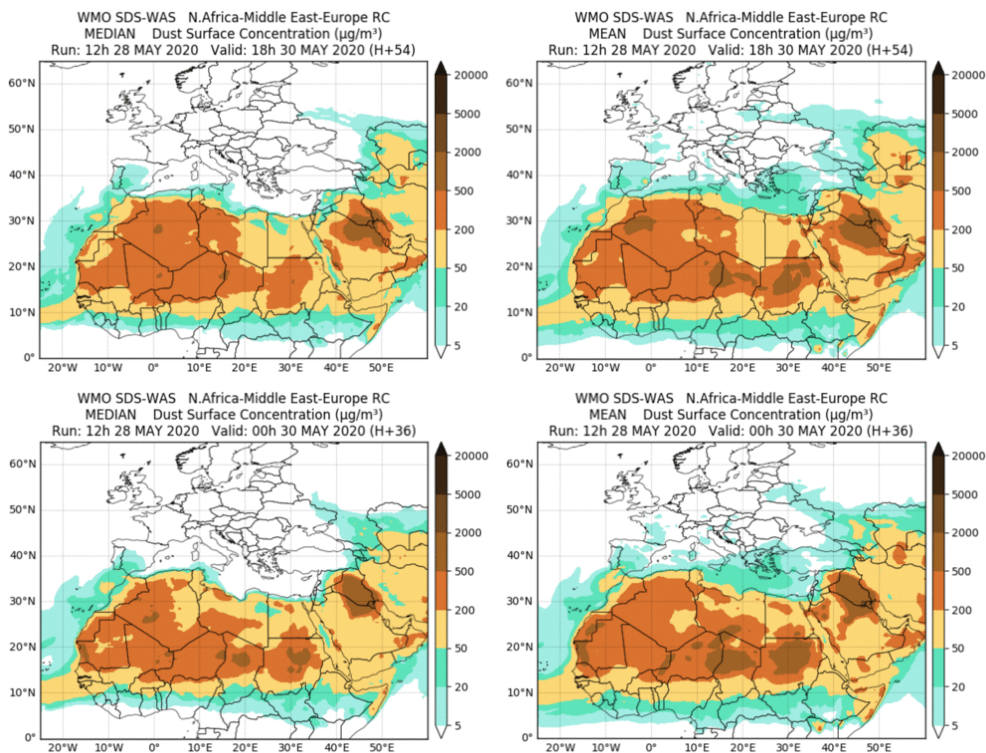
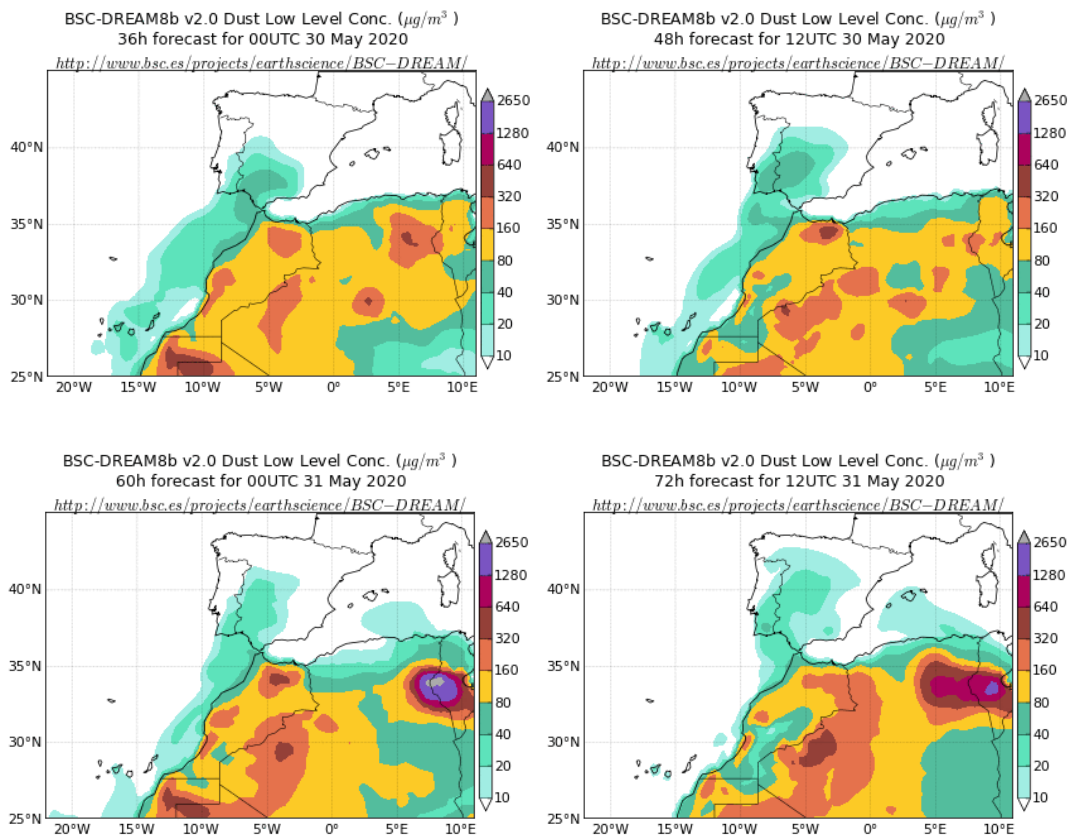


Predicción de intrusión de masas de aire africano sobre España para los días 30 y 31 de mayo de 2020

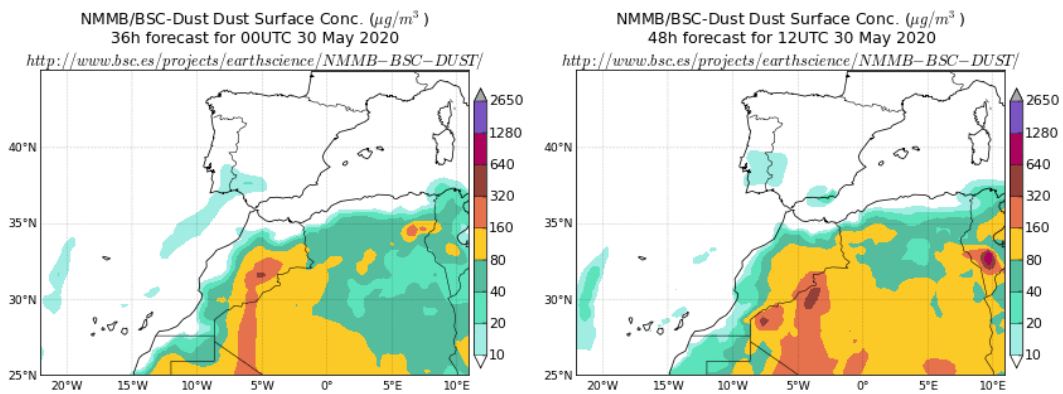
Se prevé que durante los próximos días 30 y 31 de mayo y por efecto de la presencia de bajas presiones en superficie y altura sobre el SO de la Península Ibérica y sobre la vertical del N de Marruecos, persista el evento de intrusión de polvo africano sobre zonas del tercio S y del centro de la Península Ibérica y sobre las islas Canarias. Durante ambos días se prevé que se puedan registrar concentraciones de polvo en el rango 10-80 $\mu\text{g}/\text{m}^3$ en zonas del SO y centro peninsular y en el rango 10-40 en zonas del archipiélago canario. A lo largo del día 31 de mayo también se podrían registrar niveles de concentración de polvo algo más reducidas, en el rango 10-25 $\mu\text{g}/\text{m}^3$, en zonas del N y del E de la Península. También podrían producirse eventos de depósito húmedo de polvo sobre zonas del archipiélago canario y del tercio norte de la Península Ibérica a lo largo de ambos días. Además se prevé que se puedan producir episodios de depósito seco de polvo en zonas del SO y SE peninsular y de las islas canarias durante el desarrollo de los días 30 y 31 de mayo y también en amplias zonas del centro peninsular por la tarde de ambos días.



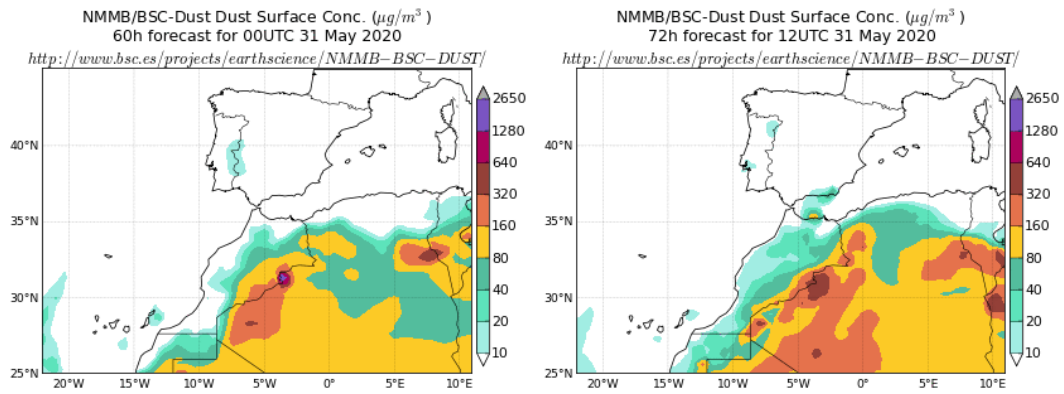
Resultados de la comparación de múltiples modelos de predicción de concentración de polvo (mediana y media en $\mu\text{g}/\text{m}^3$) para el día 30 de junio de 2020 a las 00h y a las 18h UTC. Sand and Dust Storm Warning Advisory and Assessment System Regional Center for Northern Africa, Middle East and Europe (SDS-WAS NAMEE RC; <http://sds-was.aemet.es>), gestionado conjuntamente por la Agencia Estatal de Meteorología (AEMET; <http://www.aemet.es/>) y Barcelona Supercomputing Center (BSC, <https://www.bsc.es/>).



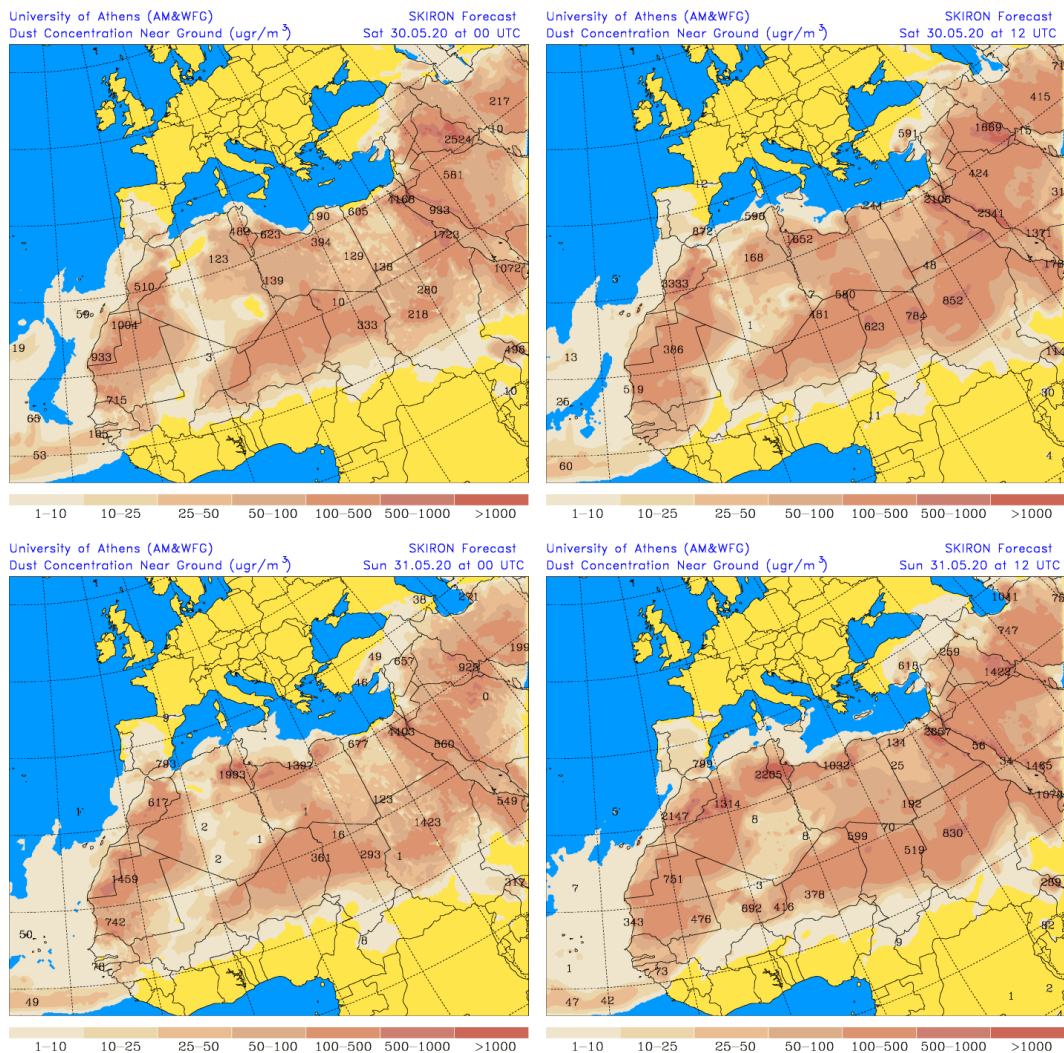
Concentración de polvo ($\mu\text{g}/\text{m}^3$) predicha por el modelo BSC-DREAM8b v2.0 para los días 30 (superior) y 31 (inferior) de mayo de 2020 a las 00 UTC (izquierda) y a las 12 UTC (derecha). © Barcelona Dust Forecast Center.



Concentración de polvo ($\mu\text{g}/\text{m}^3$) predicha por el modelo NMMB/BSC-Dust para el día 30 de mayo de 2020 a las 00 UTC (izquierda) y a las 12 UTC (derecha). © Barcelona Dust Forecast Center.

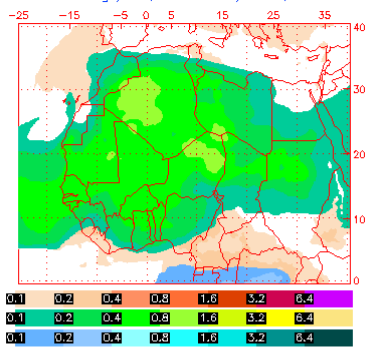


Concentración de polvo ($\mu\text{g}/\text{m}^3$) predicha por el modelo NMMB/BSC-Dust para el día 31 de mayo de 2020 a las 00 UTC (izquierda) y a las 12 UTC (derecha). © Barcelona Dust Forecast Center.

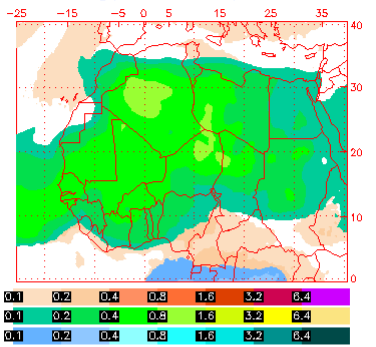


Concentración de polvo ($\mu\text{g}/\text{m}^3$) predicha por el modelo SKIRON para los días 30 (superior) y 31 (inferior) de mayo de 2020 a las 00 UTC (izquierda) y a las 12 UTC (derecha). © Universidad de Atenas.

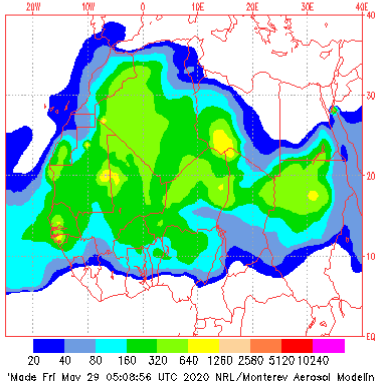
NAAPS Total Optical Depth for 00:00Z 30 May 2020
Sulfate: Orange/Red, Dust: Green/Yellow, Smoke: Blue



NAAPS Total Optical Depth for 12:00Z 30 May 2020
Sulfate: Orange/Red, Dust: Green/Yellow, Smoke: Blue

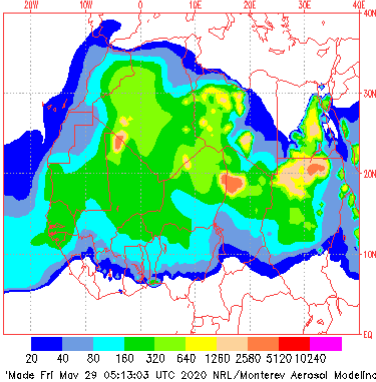


Dust Surface Concentration (ug/m**3) for 2020053000



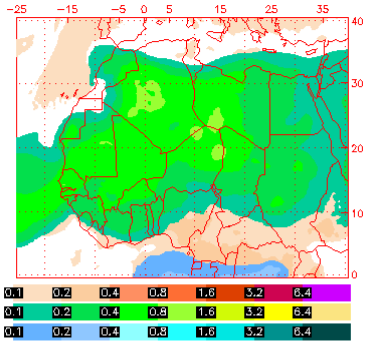
'Made Fri May 29 05:08:56 UTC 2020 NRL/Monterey Aerosol ModelInv'

Dust Surface Concentration (ug/m**3) for 2020053012

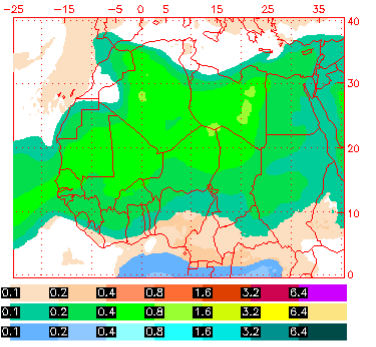


'Made Fri May 29 05:13:03 UTC 2020 NRL/Monterey Aerosol ModelInv'

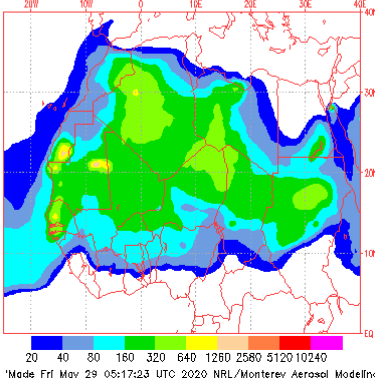
NAAPS Total Optical Depth for 00:00Z 31 May 2020
Sulfate: Orange/Red, Dust: Green/Yellow, Smoke: Blue



NAAPS Total Optical Depth for 12:00Z 31 May 2020
Sulfate: Orange/Red, Dust: Green/Yellow, Smoke: Blue

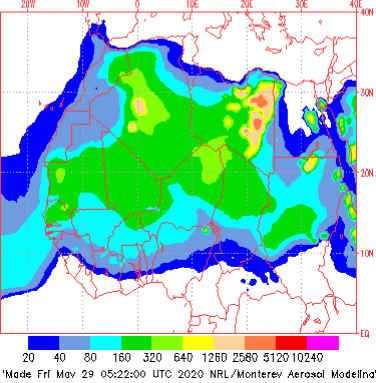


Dust Surface Concentration (ug/m**3) for 2020053100



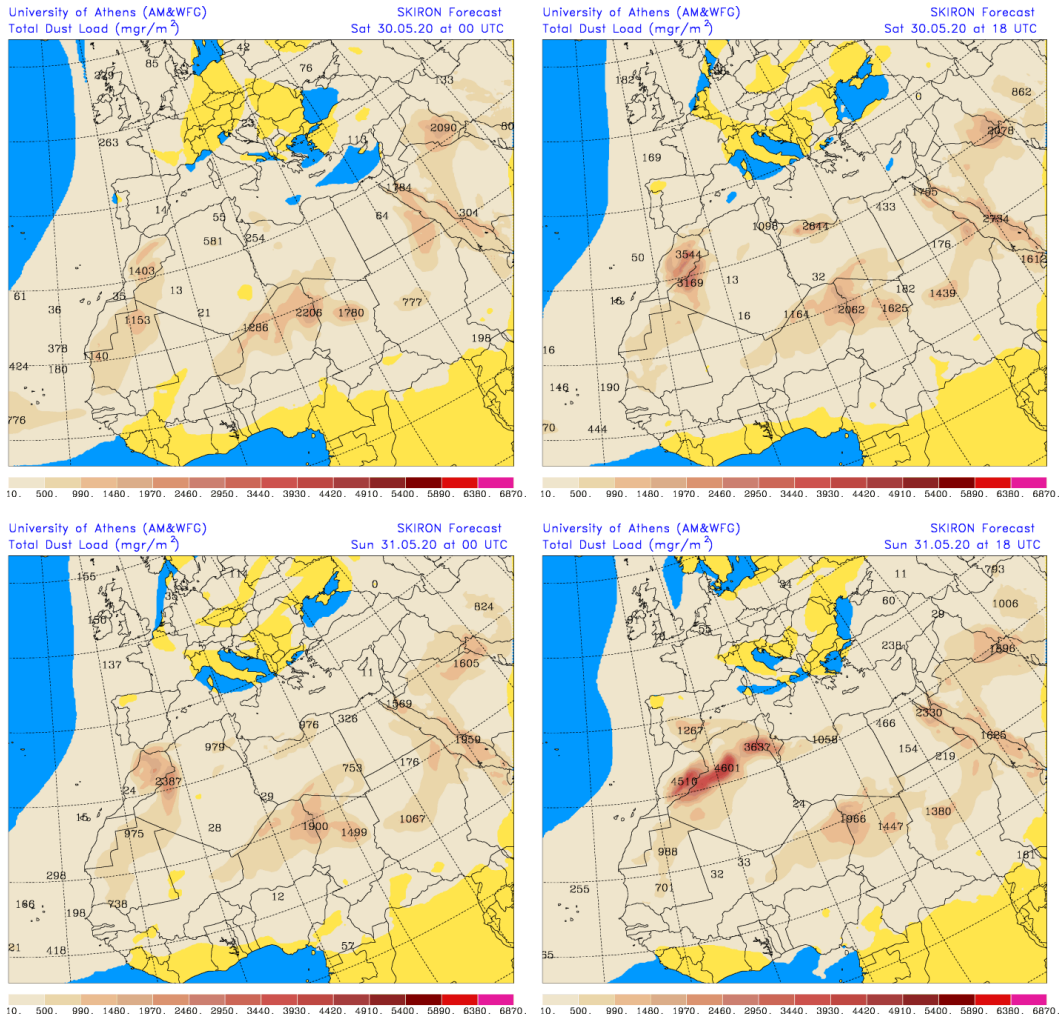
'Made Fri May 29 05:17:23 UTC 2020 NRL/Monterey Aerosol ModelInv'

Dust Surface Concentration (ug/m**3) for 2020053112

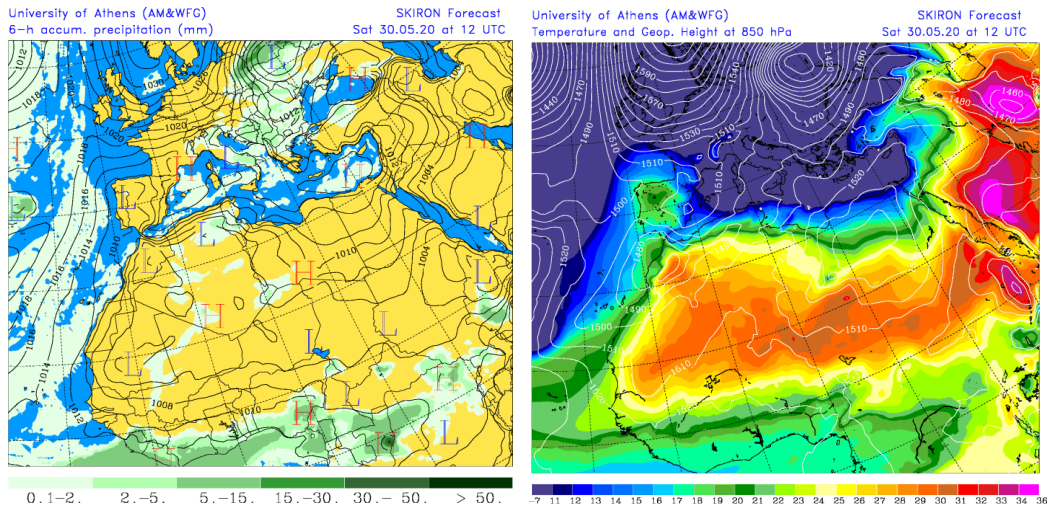


'Made Fri May 29 05:22:00 UTC 2020 NRL/Monterey Aerosol ModelInv'

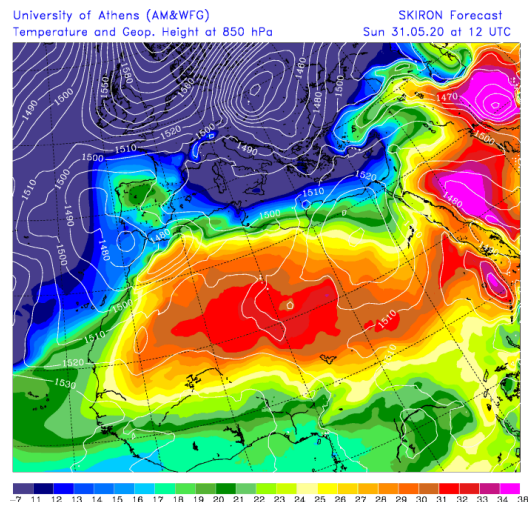
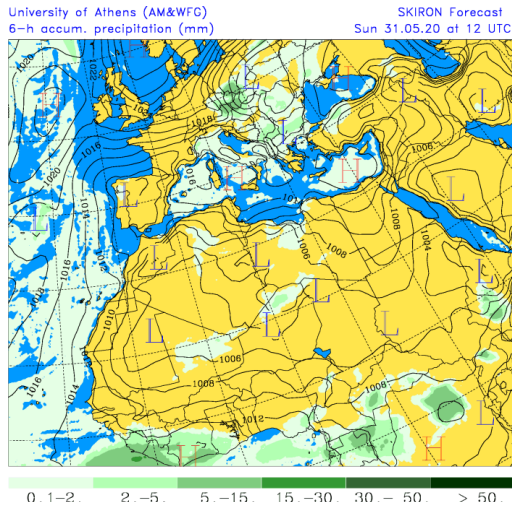
Espesor óptico de aerosoles a 550 nm (arriba) y concentración de polvo a nivel de superficie (abajo) previstos por el modelo NAAPS para los días 30 (superior) y 31 (inferior) de mayo de 2020 a las 00 UTC (izquierda) y a las 12 UTC (derecha). ©Naval Research Laboratory (NRL), Monterey, CA.



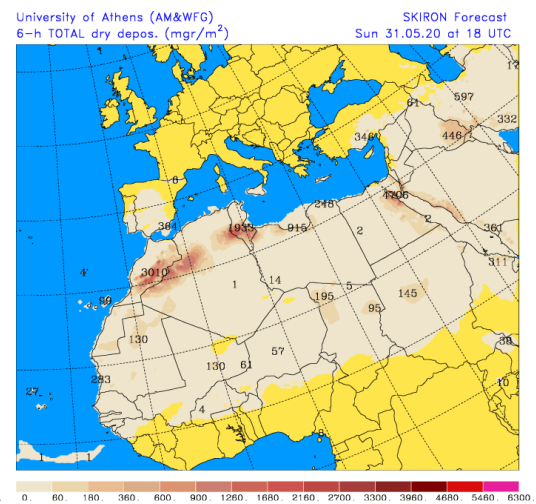
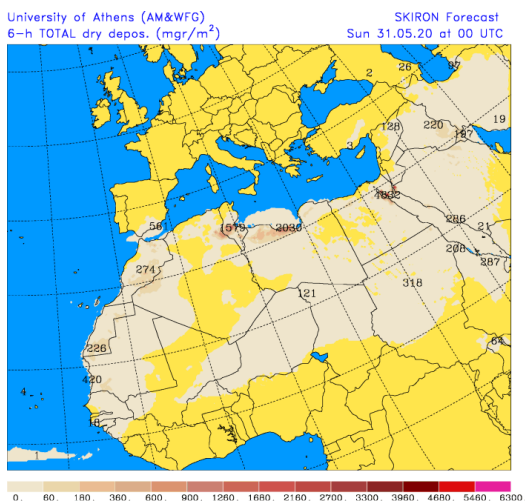
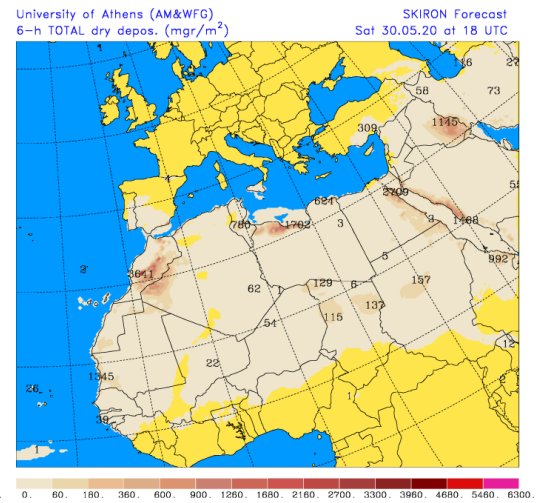
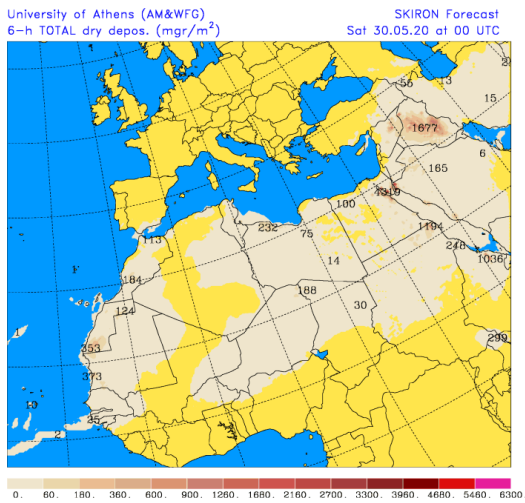
Carga total de polvo (mg/m^2) predicha por el modelo SKIRON para los días 30 (superior) y 31 (inferior) de mayo de 2020 a las 00 UTC (izquierda) y a las 18 UTC (derecha). © Universidad de Atenas.



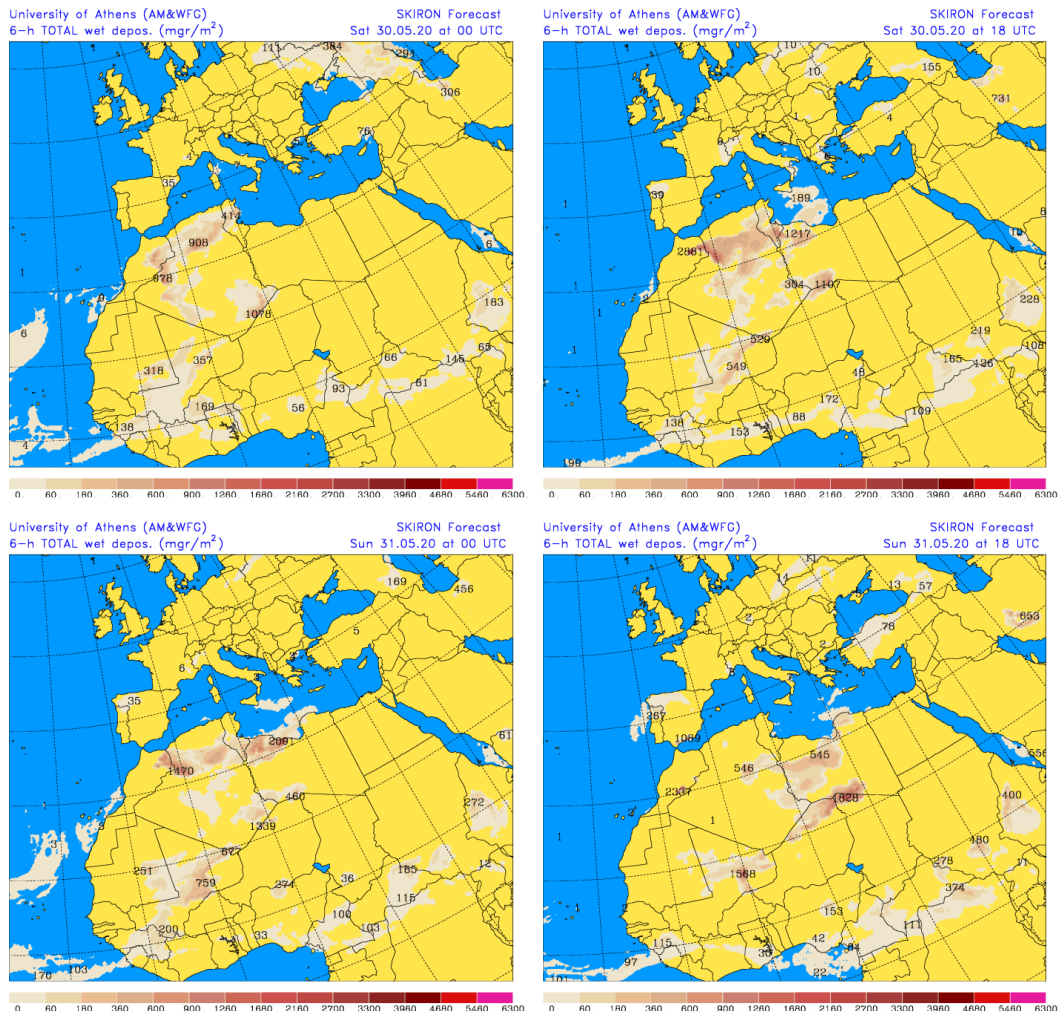
Precipitación acumulada (mm) y presión a nivel del mar (hPa) (izquierda) y campo de temperaturas ($^{\circ}\text{C}$) y de altura geopotencial a 850 hPa (derecha) previsto por el modelo SKIRON para el día 30 de mayo de 2020 a las 12 UTC. © Universidad de Atenas.



Precipitación acumulada (mm) y presión a nivel del mar (hPa) (izquierda) y campo de temperaturas (°C) y de altura geopotencial a 850 hPa (derecha) previsto por el modelo SKIRON para el día 31 de mayo de 2020 a las 12 UTC. © Universidad de Atenas.



Dépósito seco de polvo (mg/m²) predicho por el modelo SKIRON para los 30 (superior) y 31 (inferior) de mayo de 2020 a las 12 UTC (izquierda) y a las 18 UTC (derecha). © Universidad de Atenas



Depósito húmedo de polvo (mg/m²) predicho por el modelo SKIRON para los días 30 (superior) y 31 (inferior) de mayo de 2020 a las 00 UTC (izquierda) y a las 18 UTC (derecha). © Universidad de Atenas

Fecha de elaboración de la predicción: 29 de mayo de 2020

Predicción elaborada por Pedro Salvador (CIEMAT)

Los datos son propiedad de la Dirección General de Calidad y Evaluación Ambiental, del Ministerio para la Transición Ecológica y el Reto Demográfico, y han sido obtenidos y se suministran en el marco del “Encargo del Ministerio para la Transición Ecológica a la Agencia Estatal Consejo Superior de Investigaciones Científicas para la detección de episodios naturales de aportes transfronterizos de partículas y otras fuentes de contaminación de material particulado, y de formación de ozono troposférico”.